

«هو»

به نام پروردگار که پیدا کوئند هسترهای و لاندیشنهای است.

و به نام آنکه بجز او هسته، لاندیشه، هنر و هنچ چیز جاوده و پایدار نیست.

همه چیز گواه بربورخواه او و نشانه آفرینش را دارد، هنچ نیرو و لاندیشه از خالق لازم او نیست
و او خود همه توانائیها و لاندیشه هاست.

دانشگاه یزد

دانشکده منابع طبیعی و کویرشناسی

گروه مرتع و آبخیزداری

پایاننامه

برای دریافت درجه کارشناسی ارشد

مهندسی منابع طبیعی - آبخیزداری

پیش بینی زمین‌لغزش با استفاده از مدل آماری دومتغیره و تکنیک‌های RS&GIS

(مطالعه موردی حوزه سد ایلام)

دکتر محمدرضا اختصاصی

استادان راهنمای:

دکتر حسین ملکی‌نژاد

مهندس سید زین‌العابدین حسینی

استادان مشاور:

مهندس جعفر مرشدی

۱۳۸۸/۷/۱

پژوهش و نگارش: یعقوب نیازی

احضان اعلاءات مارک صنعتی
تصویبیه مارک

مهرماه ۱۳۸۷

۱۲۶۸۷۵

تقدیم به تنها سرمایه‌های زندگیم
پدر و مادر نازنین و خواهر دوست داشتم

قدردانی

سپاس می‌گوییم خدائی که:

من را توفیق داد تا در مسیری ناهموار، در مواجهه با تلاطم سختی‌ها رد عبور کنم تا در پایان یک دوره از بهترین و پربارترین قسمت زندگی تحصیلی ام درخت نوپای خواسته‌هایم را با ایمان به خدا و پشتیبانی پدر و مادرم و همکاری استادانم به بار بنشانم و میوه آرزوهای کمال جوانیم را در زیباترین شکل ممکن با چشمانی سرشار از شوق ببینم با اینکه هنوز هم معتقدم در صداقت یک لحظه، فریاد فتح را تا وسعت احساس باید رها ساخت و آنگاه با شهامت تصمیم و با ضربه‌های ذره فریاد، به آینده‌ای روشن سلام کرد.

شایسته است از تمام کسانی که در مراحل مختلف تهییه، تدوین و ارائه این تحقیق از همکاری و همفکری آنان بپرده‌مند بوده‌ام قدردانی و امتنان داشته باشم:

اساتید راهنما جناب آقای دکتر محمدرضا اختصاصی و دکتر حسین ملکی نژاد، اساتید مشاور جناب آقای مهندس سید زین‌العابدین حسینی و مهندس جعفر مرشدی که بخشی از این تحقیق حاصل بهره‌گیری از نتایج مطالعات ایشان در حوزه مورد مطالعه بوده است. پژوهشکده مناطق خشک و بیابانی جناب آقای دکتر حمیدرضا عظیم‌زاده و تمامی اساتید و کارکنان دانشکده منابع طبیعی و کویرشناسی که همواره طی دوران تحصیلیم در این دانشکده نسبت به من لطف و محبت داشته‌اند، اداره کل منابع طبیعی استان ایلام آقایان مهندس گوهري، رستمی و شیرمحمدی، سازمان جهاد کشاورزی استان ایلام، آقایان مهندس جعفری و مهندس عسکری، دانشگاه ایلام، جناب آقای دکتر صالح‌آرخی، سازمان جنگل‌ها مراتع و آبخیزداری کل کشور، گروه مطالعات زمین لغزش‌ها آقایان مهندس قربانی و قبادی. بر خود لازم می‌دانم تشکر و قدردانی ویژه‌ای از آقایان دکتر علی طالبی، مهندس محمد حسین مختاری و دوست عزیزم، مهندس رحیم نظری داشته باشم که بی‌دریغ من را از نظرات و تجارب ارزنده خود در انجام این تحقیق بپرده‌مند ساختند. برای تمامی این عزیزان از درگاه خداوند متعال توفیق روز افزون خواستارم. به امید آنکه فسیل شدن در میان اوراق دفترها، قدمت سنگواره اندیشه فردائی نو باشد.

| | | |
|---------------|--|---|
| شناسه: ب/اک/۳ | صورتجلسه دفاعیه پایان نامه دانشجوی دوره کارشناسی ارشد |  مدیریت تحصیلات تمکیلی |
|---------------|--|---|

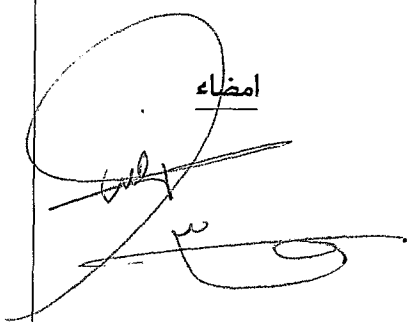
جلسه دفاعیه پایان نامه تحصیلی آقای یعقوب نیازی دانشجوی کارشناسی ارشد

رشته/گرایش: مهندسی منابع طبیعی - آبخیزداری

به شماره دانشجویی: ۸۵۰۴۷۰۴

تحت عنوان: پیش بینی زمین لغزش با استفاده از مدل آماری دو متغیره و تکنیکهای GIS & RS (مطالعه موردنی حوزه سد ایلام) و تعداد واحد: ۶ در تاریخ ۱۳۸۷/۷/۲۱ باحضور اعضای هیأت داوران (به شرح ذیل) تشکیل گردید .
پس از ارزیابی توسط هیأت داوران، پایان نامه با نمره: به عدد ۱۹/۸۰ به حروف نوزده و هشتاد صدم و درجه عالی مورده تصویب قرار گرفت.

امضاء



نام و نام خانوادگی

محمد رضا اختصاصی

عنوان

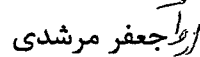
استاد/ استادان راهنما:

حسین ملکی نژاد



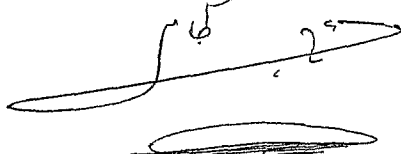
سید زین العابدین حسینی

استاد/ استادان مشاور:



علی طالبی

متخصص و صاحب نظر داخلی:



حمدی مهر نهاد

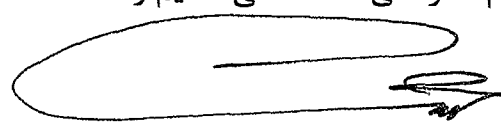
متخصص و صاحب نظر خارجی:



نماینده تحصیلات تمکیلی دانشگاه (ناظر)

نام و نام خانوادگی: محمد علی حکیم زاده

امضاء:



چکیده

زمین‌لغزش از جمله بلایای طبیعی است که عمدتاً در مناطق کوهستانی اتفاق می‌افتد و مورفولوژی را به طور ناگهان به هم می‌زنند و خسارات عمده‌ای به مناطق مسکونی، جاده‌ها، زمین‌های کشاورزی و غیره وارد می‌کنند. به این دلیل پدیده زمین‌لغزش همواره مورد توجه دولت‌ها و مراکز علمی و پژوهشی بوده و روش‌های مختلفی برای مطالعه آنها ارائه شده است تا بدین وسیله بتوان به شناسایی و مقابله با آن اقدام کرد. در این تحقیق از طریق تفسیر تصاویر ماهواره‌ای گوگل ارث، عکس‌های هوایی و بررسی‌های میدانی، زمین‌لغزش‌های رخداده در حوزه سد ایلام شناسائی شده و نقشه پراکنش آنها تهیه شده است. در این مطالعه ۱۳ عامل مؤثر (شامل زمین-شناسی، فاصله از جاده، فاصله از آبراهه، ارتفاع، شیب، جهت، شاخص رطوبت تپوپوگرافیک، انحنای پلان، انحنای پروفیل، بارش، شاخص تفاوت پوشش گیاهی نرمال شده و کاربری اراضی) در وقوع زمین‌لغزش‌های حوزه سد ایلام مورد بررسی قرار گرفته و لایه‌های اطلاعاتی مربوط به آنها با استفاده از تکنیک‌های سنجش از دور و سیستم اطلاعات جغرافیایی تهیه شده است. و در نهایت با استفاده از مدل آماری دومتغیره، که خود شامل سه روش تراکم سطح، ارزش اطلاعاتی و وزن متغیرها می‌باشد، نقشه خطر زمین‌لغزش تهیه گردیده است. نتایج حاصل از ارزیابی مدل آماری دومتغیره با استفاده از روش‌های شاخص زمین‌لغزش، پارامتر دقیق نتایج پیش‌بینی شده و نسبت تراکمی نیز نشان‌داده که روش نسبت تراکمی روش مناسب‌تری جهت ارزیابی کارائی مدل است بر این اساس این روش به عنوان روش مبنا جهت ارزیابی کارائی مدل شناخته شده است که بر اساس نتایج حاصل از آن روش‌های تراکم سطح، وزن متغیرها و ارزش اطلاعاتی به ترتیب بیشترین دقت را در تفکیک کلاس‌های خطر زمین‌لغزش داشته‌اند. مقدار شاخص تفکیک کلاس‌های خطر در روش تراکم سطح، وزن متغیرها و ارزش اطلاعاتی به ترتیب ۱/۷ و ۱/۱۲ بوده است.

فهرست مطالب

صفحه

عنوان

فصل اول - مقدمه

| | |
|---|--|
| ۲ | ۱-۱- مقدمه |
| ۵ | ۱-۲- اهداف تحقیق |
| ۵ | ۱-۳- فرضیات (یا سوالات پژوهشی) تحقیق |

فصل دوم - کلیات و سابقه تحقیق

| | |
|----|--|
| ۷ | ۲-۱- تعریف خطر زمین‌لغزش و اصطلاحات فنی |
| ۱۳ | ۲-۲- فاکتور مقیاس در آنالیز |
| ۱۳ | ۲-۲-۱- مقیاس ملی ($<1/100000$) |
| ۱۴ | ۲-۲-۲- مقیاس منطقه‌ای / اجمالی (<10000) |
| ۱۴ | ۲-۲-۳- مقیاس متوسط ($1/25000-1/5000$) |
| ۱۴ | ۲-۴- مقیاس بزرگ ($>1/10000$) |
| ۱۵ | ۳-۲- نوع اطلاعات مورد استفاده |
| ۱۷ | ۴-۲- استفاده از سنجش از دور در ارزیابی خطر زمین‌لغزش |
| ۲۳ | ۵-۲- سیستم اطلاعات جغرافیایی و ارزیابی خطر زمین‌لغزش |
| ۲۸ | ۵-۱- مراحل آنالیز خطر طبیعی در جی - آی - اس |
| ۲۹ | ۶-۲- روش‌های پنهان‌بندی خطر زمین‌لغزش |
| ۳۱ | ۷-۲- ارزیابی روش‌های پنهان‌بندی خطر زمین‌لغزش |

صفحه

عنوان

۳۲ -۸-۲- روش‌های آماری در آنالیز خطر زمین‌لغزش

۳۳ -۹-۲- سابقه تحقیق

فصل سوم- مواد و روش‌ها

۳۸ -۱-۳- معرفی منطقه مورد مطالعه

۳۹ -۲-۳- معرفی ویژگی‌های منطقه مورد مطالعه

۴۰ -۱-۲-۳- آب و هوا

۴۱ -۱-۲-۳- بارش

۴۲ -۲-۱-۲-۳- دما

۴۳ -۱-۲-۳- تعداد روزهای یخ‌بندان

۴۴ -۲-۲-۳- اقلیم

۴۵ -۱-۲-۲-۳- تعیین اقلیم منطقه به روش دومارتون

۴۶ -۲-۲-۲-۳- اقلیم نمای آمبروژه

۴۷ -۳-۲-۳- زمین‌شناسی

۴۸ -۱-۳-۲-۳- سازندهای دوران مژوزوئیک

۴۹ -۱-۱-۳-۲-۳- سازند سروک (Sg)

۵۰ -۲-۱-۳-۲-۳- سازند سورگاه (Sv)

۵۱ -۳-۱-۳-۲-۳- سازند ایلام (Il)

۵۲ -۴-۱-۳-۲-۳- سازند گوری (Gu)

عنوان

صفحه

| | |
|----|---|
| ۴۸ | ۲-۳-۲-۳- سازندهای دوران سنوزوئیک |
| ۴۸ | ۱-۲-۳-۲-۳- سازند پابده (Pb) |
| ۴۹ | ۲-۲-۳-۲-۳- سازند آسماری (As) |
| ۴۹ | ۳-۲-۳-۲-۳- سازند گچساران (Gs) |
| ۵۰ | ۴-۲-۳-۲-۳- رسوبات کواترنر (Qt) |
| ۵۰ | ۱-۴-۲-۳-۲-۳- رسوبات دامنه ای |
| ۵۰ | ۲-۴-۲-۳-۲-۳- رسوبات سیلابی و تراشهای آبرفتی |
| ۵۴ | ۳-۳- طبقه‌بندی حرکات دامنه‌ای در حوزه و تهیه نقشه پراکنش زمین‌لغزش‌ها |
| ۵۴ | ۱-۳-۳- طبقه‌بندی حرکات دامنه‌ای در حوزه |
| ۵۵ | ۱-۱-۳-۳- خرزش |
| ۵۵ | ۲-۱-۳-۳- ریزش |
| ۵۷ | ۱-۳-۳- واریزه |
| ۵۸ | ۴-۱-۳-۳- لغزش |
| ۶۰ | ۱-۴-۱-۳-۳- لغزش لایه‌های زمین‌شناسی |
| ۶۰ | ۱-۱-۴-۱-۳-۳- لغزش‌های پلانش در حوزه سد ایلام |
| ۶۱ | ۱-۱-۴-۱-۲-۱-۱-۳-۳- لغزش‌های پلانش در سازند آهک آسماری |
| ۶۱ | ۱-۱-۴-۱-۱-۳-۳- لغزش‌های پلانش سازند سروک |
| ۶۲ | ۱-۱-۴-۱-۱-۴-۱-۳-۳- لغزش‌های پلانش سازند ایلام |
| ۶۳ | ۱-۴-۱-۱-۴-۱-۱-۳-۳- لغزش کان‌گمگ |
| ۶۳ | ۲-۴-۱-۱-۴-۱-۱-۳-۳- لغزش غرب روستای مهر |

صفحه

عنوان

۶۵ -۱-۳-۲-۱-۴-۱- مجموع تولید رسوب کل لغزش‌های پلاتش در حوزه

۶۵ -۳-۱-۴-۲- لغزش‌های چرخشی در حوزه

۶۷ -۳-۲- تهیه نقشه پراکنش زمین‌لغزش با استفاده از تکنیک‌های سنجش از دور و

سیستم اطلاعات جغرافیایی

۷۱ -۳-۴- تعیین عوامل مؤثر در وقوع زمین‌لغزش‌های حوزه مورد مطالعه و تهیه لایه‌های

اطلاعاتی مربوط به آنها

۷۱ -۳-۴-۱- مقدمه

۷۳ -۳-۴-۲- عوامل مؤثر در وقوع زمین‌لغزش‌های چرخشی حوزه مورد مطالعه

۷۳ -۳-۴-۲-۱- زمین‌شناسی

۷۴ -۳-۴-۲-۲- فاصله از جاده

۷۵ -۳-۴-۲-۳- فاصله از گسل

۷۶ -۳-۴-۲-۴- فاصله از شبکه زهکشی

۷۷ -۳-۴-۲-۵- پارامترهای استخراج شده از مدل رقومی ارتفاع

۷۷ -۳-۴-۲-۵-۱- ارتفاع

۷۸ -۳-۴-۲-۵-۲- شبیب

۷۹ -۳-۴-۲-۵-۳- جهت شبیب

۸۰ -۳-۴-۲-۵-۴- شاخص رطوبت توپوگرافیک

۸۳ -۳-۴-۲-۵-۵- انحنای سطح

۸۵ -۳-۴-۲-۵-۶- بارندگی

عنوان

صفحه

| | |
|-----|---|
| ۸۶ | ۴-۳-۲-۶-۶-۱- استخراج شاخص پوشش گیاهی نرمال شده و نقشه کاربری اراضی با استفاده از تکنیک‌های سنجش از دور و تصاویر سنجنده استر |
| ۸۷ | ۴-۳-۲-۶-۶-۱- خصوصیات سنجنده استر |
| ۸۸ | ۴-۳-۲-۶-۲-۶-۲- شاخص تفاوت پوشش گیاهی نرمال شده |
| ۸۹ | ۴-۳-۲-۶-۳- کاربری اراضی |
| ۹۰ | ۴-۳-۲-۶-۳-۱- مقدمه |
| ۹۱ | ۴-۳-۲-۶-۳-۲- مبانی نظری |
| ۹۱ | ۴-۳-۲-۶-۳-۳- طبقه‌بندی تصاویر ماهواره‌ای با روش حداکثر احتمال |
| ۹۲ | ۴-۳-۲-۶-۳-۴- طبقه‌بندی تصاویر ماهواره‌ای با روش شبکه عصبی |
| ۱۰۳ | ۳-۵- پیش‌بینی خطر زمین‌لغزش با استفاده از مدل آماری دومتغیره و ... |
| ۱۰۳ | ۳-۵-۱- پیش‌بینی خطر زمین‌لغزش با استفاده از مدل آماری دومتغیره |
| ۱۰۵ | ۳-۵-۱-۱- روش تراکم سطح |
| ۱۰۷ | ۳-۵-۱-۲- روش ارزش اطلاعاتی |
| ۱۰۸ | ۳-۵-۱-۳- روش وزن متغیرها |
| ۱۱۷ | ۳-۵-۲- تولید نقشه قابلیت وقوع زمین‌لغزش |

فصل چهارم- نتایج

| | |
|-----|---|
| ۱۲۲ | ۴-۱- نتایج |
| ۱۲۲ | ۴-۱-۱- نتایج حاصل از به‌کارگیری از تصاویر ماهواره‌ای گوگل ارث در تعیین و تهییه نقشه پراکنش زمین‌لغزش‌ها |

عنوان

صفحه

| | |
|-----|--|
| ۱۲۴ | ۲-۱-۴- نتایج حاصل از به کارگیری دو الگوریتم حداقل احتمال و شبکه عصبی مصنوعی در تهیه نقشه کاربری اراضی |
| ۱۲۷ | ۳-۱-۴- نتایج حاصل از انطباق نقشه پراکنش زمین‌لغزش‌ها با عوامل مؤثر در وقوع آنها |
| ۱۳۵ | ۴-۱-۴- نتایج حاصل از ارزیابی کارائی مدل آماری دومتغیره در پیش‌بینی وقوع زمین‌لغزش |
| ۱۳۵ | ۴-۱-۱-۱- شاخص زمین‌لغزش |
| ۱۳۷ | ۴-۱-۲- پارامتر دقیق نتایج پیش‌بینی شده |
| ۱۳۸ | ۴-۱-۳- نسبت تراکمی |

فصل پنجم- نتیجه‌گیری و پیشنهادات

| | |
|-----|------------------------------|
| ۱۴۲ | ۱-۵- نتیجه‌گیری |
| ۱۴۴ | ۲-۵- آزمون فرضیات |
| ۱۴۴ | ۲-۱-۵- نتایج اثبات فرضیه اول |
| ۱۴۶ | ۲-۲-۵- نتایج اثبات فرضیه دوم |
| ۱۴۷ | ۲-۳-۵- نتایج اثبات فرضیه سوم |
| ۱۵۰ | ۳-۵- پیشنهادات |

منابع و مأخذ

۱۵۳

فهرست جداول

| صفحه | عنوان |
|------|---|
| ۷ | جدول ۱-۲- دسته‌بندی نوع مواد تشکیل دهنده توده جابجا شده |
| ۸ | جدول ۲-۲- دسته‌بندی زمین‌لغزش‌ها بر مبنای طبقه‌بندی وارنز |
| ۲۱ | جدول ۲-۳- حداقل اندازه مورد نیاز برای تعیین و تفسیر زمین‌لغزش |
| ۲۲ | جدول ۲-۴- ارتباط بین قدرت تفکیک مکانی و حداقل اندازه زمین‌لغزش ... |
| ۲۲ | جدول ۲-۵- تعداد پیکسلهای (که اندازه هر پیکسل ۱ متر در ۱ متر است) ... |
| ۲۹ | جدول ۲-۶- جدول زمانی مقاسیه مراحل ارزیابی خطر زمین‌لغزش |
| ۳۱ | جدول ۲-۷- شیوه‌های پهنه‌بندی خطر زمین‌لغزش |
| ۳۲ | جدول ۲-۸- طبقه‌بندی تکنیک‌های پهنه‌بندی خطر زمین‌لغزش بر اساس فاکتور مقیاس و میزان کاربرد جی-آی- اس |
| ۶۳ | جدول ۳-۱- مشخصات فیزیوگرافی لغزش کان گمگ |
| ۶۴ | جدول ۳-۲- مشخصات فیزیوگرافی لغزش مهر |
| ۶۵ | جدول ۳-۳- تولید رسوب در لغزش‌های پلانش |
| ۱۱۰ | جدول ۳-۴- ترکیبات امکان پذیر بعد از قطع دادن نقشه‌ها |
| ۱۱۲ | جدول ۳-۵- وزن کلاس‌های مربوط به بارش، انحنای پروفیل و انحنای پلان در مدل آماری دومتغیره |
| ۱۱۳ | جدول ۳-۶- وزن کلاس‌های مربوط به زمین‌شناسی و کاربری اراضی در مدل آماری دو متغیره |

عنوان

صفحه

| | |
|---|-----|
| جدول ۳-۷: وزن کلاس‌های مربوط به فاصله از جاده، گسل و آبراهه در مدل آماری دو متغیره | ۱۱۴ |
| جدول ۳-۸-۱- وزن کلاس‌های مربوط به شاخص NDVI، شاخص رطوبت و شیب در مدل آماری دوممتغیره | ۱۱۵ |
| جدول ۳-۹-۲- وزن کلاس‌های مربوط به ارتفاع و جهت در مدل آماری دو متغیره | ۱۱۶ |
| جدول ۴-۱- ماتریس خطای همبستگی، خطای گماشته شده و حذف شده با الگوریتم حداقل احتمال | ۱۲۵ |
| جدول ۴-۲- ماتریس خطای همبستگی، خطای گماشته شده و حذف شده با الگوریتم شبکه عصبی مصنوعی | ۱۲۵ |
| جدول ۴-۳- دقت تو لیدکننده و استفاده کننده با الگوریتم حداقل احتمال | ۱۲۶ |
| جدول ۴-۴- دقت تو لیدکننده و استفاده کننده با الگوریتم شبکه عصبی مصنوعی | ۱۲۶ |
| جدول ۴-۵- ضریب کاپا برای دو الگوریتم طبقه‌بندی حداقل احتمال و شبکه عصبی | ۱۲۶ |
| جدول ۴-۶- ارزیابی روش‌های پیش‌بینی خطر زمین‌لغزش با شاخص زمین‌لغزش | ۱۳۶ |
| جدول ۴-۷- دقت حاصل از اجرای روش‌های پیش‌بینی خطر زمین‌لغزش | ۱۳۷ |
| جدول ۶-۸- ارزیابی روش‌های پیش‌بینی خطر زمین‌لغزش با روش نسبت تراکمی | ۱۳۹ |

فهرست اشکال

| صفحه | عنوان |
|------|--|
| ۳ | شکل ۱-۱- الگوی رقومی- ارتفاعی ایران، شاهدی بر توپوگرافی کوهستانی فلات ایران |
| ۳ | شکل ۱-۲- نقشه پراکندگی زمین‌لغزش‌های ایران |
| ۹ | شکل ۱-۳- طبقه‌بندی انواع زمین‌لغزش‌ها بر مبنای طبقه‌بندی وارنز |
| ۱۱ | شکل ۲-۱- نمایش گرافیکی از خطر، آسیب‌پذیری و ریسک |
| ۱۲ | شکل ۲-۲- نمایی از عملیات پهنه‌بندی |
| ۱۵ | شکل ۲-۳- انواع مقیاس‌های آنالیز و جزئیات مختصری از آنها |
| ۲۴ | شکل ۲-۴- جی- آی- اس و اجزاء مرتبط با آن |
| ۲۴ | شکل ۲-۵- بخش‌های جی- آی- اس |
| ۲۵ | شکل ۲-۶- سؤالاتی که یک جی- آی- اس در صورتی که خوب بنا شده باشد باید به آنها پاسخ دهد |
| ۳۸ | شکل ۳-۱- موقعیت کشوری و استانی منطقه مورد مطالعه |
| ۴۳ | شکل ۳-۲- نقشه اقلیمی حوزه سد ایلام به روش دومارتون |
| ۴۵ | شکل ۳-۳- موقعیت ناحیه مورد مطالعه بر روی نقشه تقسیم‌بندی زون‌های ساختاری ایران |
| ۵۱ | شکل ۳-۴- نمایی از سه سازند سروک، سورگاه و ایلام بر روی تصویر ماهواره‌ای گوگل- ارث |
| ۵۲ | شکل ۳-۵- نمایی از سازند پابده |
| ۵۲ | شکل ۳-۶- نمایی از سازند سروک |

عنوان

صفحة

| | |
|---|----|
| شکل ۳-۷- نمایی از دو سازند آسماری و گچساران | ۵۲ |
| شکل ۳-۸- نمایی از دو سازند آسماری و پابده | ۵۲ |
| شکل ۳-۹- نمایی از دو سازند پابده و گوری | ۵۲ |
| شکل ۳-۱۰- نمایی از بخش امام حسن و سازند گوری | ۵۲ |
| شکل ۱-۳- الگوریتم مراحل تهیه نقشه پیش‌بینی خطر زمین‌لغزش با استفاده از مدل آماری دومتغیره | ۵۳ |
| شکل ۳-۱۲- نمایی از پدیده ریزش روی بخش آهکی امام حسن | ۵۷ |
| شکل ۳-۱۳- نمایی از واریزهای ایجاد شده بر روی سازند آهکی ایلام | ۵۸ |
| شکل ۳-۱۴- شکست چرخشی با صفحات متعدد | ۵۹ |
| شکل ۳-۱۵- شکست انتقالی | ۵۹ |
| شکل ۳-۱۶- نمایی از لغزش مهر بر روی تصویر ماهواره‌ای گوگل ارث | ۶۴ |
| شکل ۳-۱۷- لغزش لایه‌های سنگی در مسیر جاده احداث جاده مسیر ایلام به سد ایلام | ۶۶ |
| شکل ۳-۱۸- فعال شدن لغزش فسیل سمت راست سد ایلام به ملکشاهی | ۶۶ |
| شکل ۳-۱۹- محل اسکارپ لغزش درحال وقوع به طرف سد ایلام | ۶۶ |
| شکل ۳-۲۰- لغزش و جریان در روی رسوبات واریزهای سازند ایلام در مسیر ایلام به سد ایلام | ۶۶ |
| شکل ۳-۲۱- نمونه هایی از زمین‌لغزش های تعیین شده با استفاده از تصاویر ماهواره‌ای گوگل ارث در حوزه سد ایلام | ۷۰ |
| شکل ۳-۲۲- الگوریتم تهیه نقشه پراکنش زمین‌لغزش‌ها با استفاده از تلفیق گوگل ارث و جی-آی-اس | ۷۰ |

عنوان

صفحه

| | |
|----|--|
| ٧١ | شکل ۳-۲۳- نقشه پراکنش زمین‌لغزش‌های حوزه سد ایلام |
| ٧٥ | شکل ۳- ۲۴- لغزش و روانگرایی بر روی سازند گوربی در مسیر جاده ارتباطی ایلام به دره شهر به علت ایجاد ترانشه |
| ٧٦ | شکل ۳- ۲۵- لغزش به علت زیرکنی رودخانه در مسیر جاده ایلام به ملکشاهی |
| ٨٢ | شکل ۳- ۲۶- تعیین جهت جریان با استفاده از توابع جی- آی- اس |
| ٨٣ | شکل ۳- ۲۷- مراحل تولید نقشه تجمع جریان |
| ٨٤ | شکل ۳- ۲۸- دیاگرام نمایش دهنده انحنای پلان |
| ٨٤ | شکل ۳- ۲۹- دیاگرام نمایش دهنده انحنای پروفیل |
| ٩٣ | شکل ۳- ۳۰- نمونه هایی از کلاس های نقشه کاربری اراضی روی تصویر ماهواره‌ای گوگل ارث |
| ٩٤ | شکل ۳- ۳۱- شبکه پرسپترون مورد استفاده |
| ٩٦ | شکل ۳- ۳۲- نقشه زمین شناسی |
| ٩٦ | شکل ۳- ۳۳- نقشه فاصله از جاده |
| ٩٧ | شکل ۳- ۳۴- نقشه فاصله از گسل |
| ٩٧ | شکل ۳- ۳۵- نقشه فاصله از آبراهه |
| ٩٨ | شکل ۳- ۳۶- نقشه طبقات ارتفاعی |
| ٩٨ | شکل ۳- ۳۷- نقشه شیب |
| ٩٩ | شکل ۳- ۳۸- نقشه جهت |
| ٩٩ | شکل ۳- ۳۹- نقشه شاخص رطوبت |

عنوان

صفحه

- ۱۰۰ شکل ۳-۴۰- نقشه بارش
- ۱۰۰ شکل ۳-۴۱- نقشه انحنای پلان
- ۱۰۱ شکل ۳-۴۲- نقشه انحنای پروفیل
- ۱۰۱ شکل ۳-۴۳- نقشه شاخص NDVI
- ۱۰۲ شکل ۳-۴۴- نقشه کاربری اراضی با الگوریتم حداکثر احتمال
- ۱۰۲ شکل ۳-۴۵- نقشه کاربری اراضی با الگوریتم شبکه عصبی مصنوعی
- ۱۱۸ شکل ۳-۴۶- طبقه‌بندی نقشه پیش‌بینی خطر زمین‌لغزش با استفاده از روش ژنکز
- ۱۱۹ شکل ۳-۴۷- نقشه پیش‌بینی خطر زمین‌لغزش با استفاده از روش تراکم سطح
- ۱۱۹ شکل ۳-۴۸- نقشه پیش‌بینی خطر زمین‌لغزش با استفاده از روش ارزش اطلاعاتی
- ۱۲۰ شکل ۳-۴۹- نقشه پیش‌بینی خطر زمین‌لغزش با استفاده از روش وزن متغیرها
- ۱۲۳ شکل ۴-۱- محدودیت گوگل‌ارت، عدم وجود تصاویر با وضوح بالا برای تمام مناطق است
- ۱۴۹ شکل ۵-۱- الگوریتم نهائی پیش‌بینی خطر زمین‌لغزش با استفاده از مدل آماری دومتغیره

فهرست نمودارها

صفحه

عنوان

- | | |
|-----|---|
| ۴۰ | نمودار ۱-۳ - میانگین بارش ماهانه ایستگاه ایلام |
| ۴۱ | نمودار ۲-۳ - دماهای پنج گانه ایستگاه سینوپتیک ایلام |
| ۹۴ | نمودار ۳-۴ - میانگین بازتاب های مختلف کلاس های نقشه کاربری اراضی روی هر بند |
| ۹۵ | نمودار ۳-۵ - روند آموزش در شبکه عصبی مصنوعی |
| ۱۲۷ | نمودار ۴-۱ - مساحت کلاس های نقشه کاربری اراضی به دست آمده از دو روش طبقه - بندی حد اکثر احتمال و شبکه عصبی مصنوعی . |
| ۱۲۸ | نمودار ۴-۲ - درصد فراوانی زمین لغزش ها در واحد های زمین شناسی |
| ۱۲۹ | نمودار ۴-۳ - درصد فراوانی زمین لغزش ها در طبقات فاصله از جاده |
| ۱۲۹ | نمودار ۴-۴ - درصد فراوانی زمین لغزش ها در طبقات فاصله از گسل |
| ۱۳۰ | نمودار ۴-۵ - درصد فراوانی زمین لغزش ها در طبقات فاصله از آبراهه |
| ۱۳۰ | نمودار ۴-۶ - درصد فراوانی زمین لغزش ها در طبقات ارتفاعی |
| ۱۳۱ | نمودار ۴-۷ - درصد فراوانی زمین لغزش ها در طبقات شیب |
| ۱۳۱ | نمودار ۴-۸ - درصد فراوانی زمین لغزش ها در کلاس های جهت |
| ۱۳۲ | نمودار ۴-۹ - درصد فراوانی زمین لغزش ها در طبقات شاخص رطوبت |
| ۱۳۲ | نمودار ۴-۱۰ - درصد فراوانی زمین لغزش ها در طبقات انحنای پلان |
| ۱۳۳ | نمودار ۴-۱۱ - درصد فراوانی زمین لغزش ها در طبقات انحنای پروفیل |

عنوان

صفحه

نمودار ۱۲-۴ - درصد فراوانی زمین‌لغزش‌ها در طبقات بارش ۱۳۳

نمودار ۱۳-۴ - درصد فراوانی زمین‌لغزش‌ها در طبقات شاخص پوشش گیاهی نرمال شده ۱۳۴

نمودار ۱۴-۴ - درصد فراوانی زمین‌لغزش‌ها در طبقات کاربری اراضی ۱۳۴

نمودار ۱-۶ - درصد فراوانی کلاس‌های خطر زمین‌لغزش ، با مدل آماری دومتغیره در ۱۴۰

حوزه سد ایلام